

랜덤하중 하에서 피로균열진전예측 방법들의 비교

이학주^{*} · 강재윤[†] · 최병익^{*} · 김정엽^{**}

(2003년 5월 12일 접수, 2003년 8월 19일 심사완료)

A Comparative Study of Methods to Predict Fatigue Crack Growth under Random Loading

Hak-Joo Lee, Jae-Youn Kang, Byung-Ik Choi and Chung-Youb Kim

Key Words : Fatigue Crack Growth(피로균열진전), Crack Closure(균열닫힘), Random Loading(랜덤하중), Crack Growth Retardation(균열진전지연)

Abstract

Methods to predict fatigue crack growth are compared in a quantitative manner for crack growth test data of 2024-T351 aluminum alloy under narrow and wide band random loading. In order to account for the effect of load ratio, crack closure model, Hater's equation and NASGRO's equation have been employed. Load interaction effect under random loading has been considered by crack closure model, Willenborg's model and Wheeler's model. The prediction method using the measured crack opening results provides the best result among the prediction methods discussed for narrow and wide band random loading data.

1. 서 론

경량화를 통한 고성능화나 고도의 신뢰성이 요구되는 항공기 및 발전설비의 설계에 있어서는 사용중에 피로 또는 부식으로 인한 손상이 일어나더라도 운전중에 일어날 수 있는 하중에 견딜 수 있으며 정기적인 검사시기까지 결함이나 균열의 성장을 허용하는 손상허용설계(damage tolerance design)개념이 사용된다. 따라서 설계대상물이 실제 상황에서 받고 있는 하중에 대한 피로균열진전 예측은 매우 중요하다. 사용 중에 구조물에 작용하는 하중은 응력비와 진폭이 불규칙하게 변화하는 랜덤하중으로, 이러한 랜덤하중하의 피로균열진전거동에 대하여 검토할 필요가 있다. 피로균열진전에 관한 연구는 Paris⁽¹⁾의 연구 이후로 많은 연구가 체계적으로 이루어져 오고 있으며, 응력비의 영향을 고려하기 위해서 Harter⁽²⁾의 방법과 미

NASGRO 방법⁽³⁾이 많이 사용되고 있다. 또한 변동 하중에 의한 하중간섭 영향을 설명하기 위해서 주로 균열선단의 압축잔류응력을 고려한 모델과 균열닫힘현상을 고려한 모델이 사용되고 있다. 균열선단의 압축잔류응력을 고려한 대표적인 모델로는 Willenborg 모델⁽⁴⁾ 및 Wheeler 모델⁽⁵⁾이 있다. 한편, 균열닫힘모델은 Elber⁽⁶⁾가 균열닫힘현상에 의해서 응력비의 영향 및 변동하중 하에서 균열진전의 가속 및 지연효과가 설명될 수 있음을 밝힌 이후로, 피로균열진거동을 지배하는 주요 파라미터로 알려져 왔으며, 현재 가장 많이 사용되고 있다. 위에서 언급한 바와 같이 현재 응력비 영향 및 하중간섭효과를 고려한 어려가지 균열진전예측 방법들이 제안되어 있으며, 이들 방법들을 랜덤하중 하에서의 실험 결과들과의 정량적 비교 평가를 통하여 각 균열진전예측방법의 정확성을 조사할 필요가 있다고 생각된다. 따라서 본 연구에서는 응력비 영향 및 하중간섭효과를 고려한 균열진전예측 방법들을 광대역(wide band) 및 협대역(narrow band) 랜덤하중 하에서 2024-T351 알루미늄 합금재료 된 중앙균열 시험편 M(T)로 피로균열진전시험을 한 결과와 비교하였다. 또한 정량적인 평가방법을 도입하여 실험결과와 예측결과를 비교평가 하였다.

[†] 책임저자, 회원, 한국기계연구원 기계구조부
E-mail : jykang@kimm.re.kr

TEL : (042)868-7850 FAX : (042)868-7884

^{*} 회원, 한국기계연구원 기계구조부

^{**} 회원, 여수대학교 기계자동차공학부

2. 피로균열진전 시험

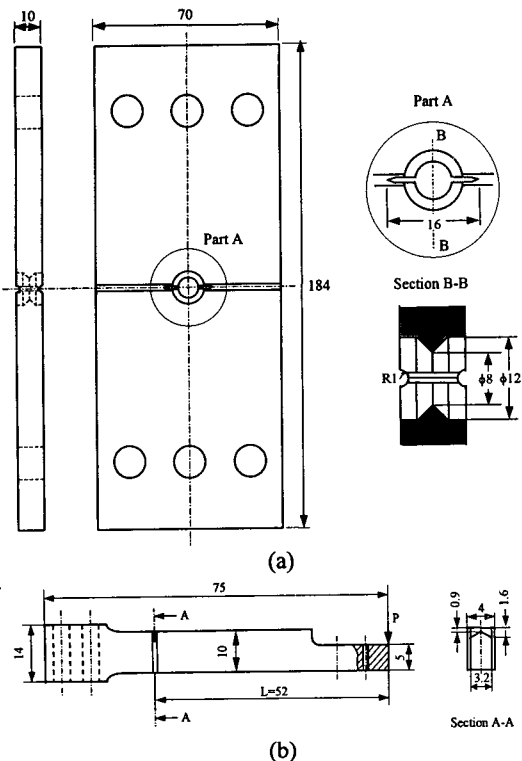


Fig. 1 Test specimen configurations: (a) M(T) specimen, (b) SEB specimen

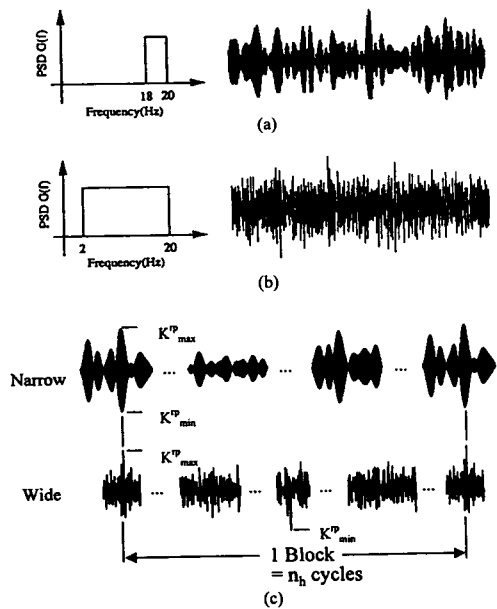


Fig. 2 Random loading histories of (a) narrow band, (b) wide band and (c) definitions

균열진전시험에 사용된 재료는 2024-T351 알루미늄합금이며, 0.2% 오프셋 항복강도는 379 MPa, 인장강도는 480 MPa, 연신률은 19.6 %, 단면 수축률은 17.0%이다.

일정진폭 균열진전시험에는 Fig. 1 과 같은 측면홀이 있는 중앙균열 시험편 M(T)과 측면홀이 있는 면내 굽힘 SEB 시험편이 사용되었으며, 랜덤하중 균열진전시험에는 측면홀이 있는 중앙균열 시험편 M(T)이 사용되었다.⁽⁷⁾ M(T) 시험편은 길이 184mm, 폭 70mm, 두께 10mm 이고, 초기 노치는 16mm 가 되도록 방전가공을 하였다. 또한 클립온 케이지를 고정할 수 있도록 시험편의 중앙에 지름 $\phi=8\text{mm}$ 인 원형구멍을 가공하였으며, 시험편의 방향은 L-T 이다. 그리고 시험편의 내부와 외부의 응력상태 차이로 인해 발생하는 균열진전의 차이를 막고 균열이 평면변형률 상태에서 진전하도록 반지름이 1mm 인 반원형 사이드그루브(side groove)를 시험편의 양면에 가공하였다. SEB 시험편은 두께와 폭이 각각 4mm 와 10mm 이며, 방전가공으로 쉐브론 노치를 가공하였다. 그리고 평면변형률 상태에서 균열이 진전하도록 시험편 두께의 20%만큼의 반원형 사이드그루브를 가공하였다. 랜덤하중파형으로는 Fig. 2 에서 보는 바와 같이 광대역 및 협대역 주파수특성을 갖는 유사랜덤파형을 이용하였으며, 단위블럭당 사이클수는 2000 사이클이다. Fig. 3(a)는 응력비에 따른 일정진폭 균열진전시험 결과이다.

3. 균열닫힘현상을 고려한 수명예측

균열닫힘방법(Crack Closure Method)은 균열진전을 지배하는 주요인자는 Paris 식에서와 같은 응력강도계수폭 ΔK 가 아닌 균열이 완전히 열린 부분의 응력강도계수폭, 즉,

$$\Delta K_{eff} = \begin{cases} K_{max} - K_{op} & \text{for } K_{op} \geq K_{min} \\ K_{max} - K_{min} & \text{for } K_{op} < K_{min} \end{cases} \quad (1)$$

이며, 균열진전속도는

$$\frac{da}{dN} = C(\Delta K_{eff})^n \quad (2)$$

와 같이 계산할 수 있다는 것이다. 균열닫힘현상에 의해서 응력비의 영향 및 변동하중 하에서 균열진전의 가속 및 지연효과가 설명될 수 있다.^(6,7) Fig. 3(b)에서 보는 바와 같이 유효응력강도계수폭 ΔK_{eff} 로 정리하면 응력비에 따른 균열진전 곡선이 하나의 곡선으로 모이는 것을 알 수 있다.

또한 Fig. 4 에서 알 수 있듯이 협대역 및 광대역 랜덤하중 하에서 단위블럭당 균열열림점은 약간의

변동은 있으나, 그 변동범위가 무시할 만큼 매우 작다. 따라서 랜덤하중 하에서 단위블럭당 균열열림하중은 거의 일정하다고 가정할 수 있으며, 이러한 결과는 랜덤하중의 단위블럭을 반복하여 작용시키는 경우에는 단위블럭내에서의 균열열림점은 거의 일정하다는 Kikukawa⁽⁸⁾의 연구결과와 잘 일치하고있다.

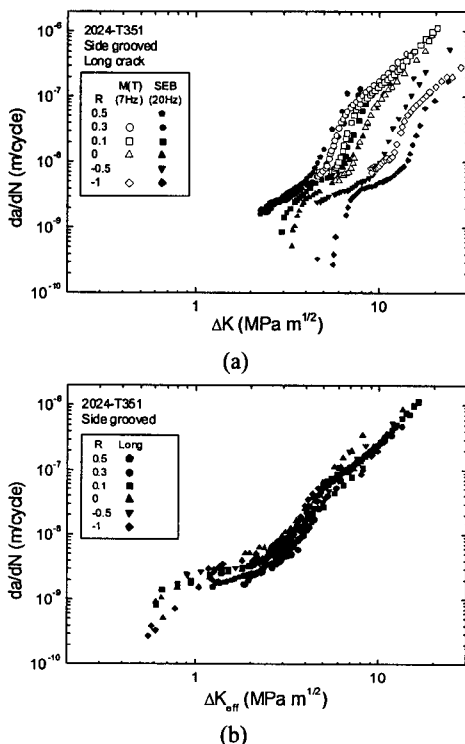


Fig. 3 Crack growth rates under constant amplitude loading

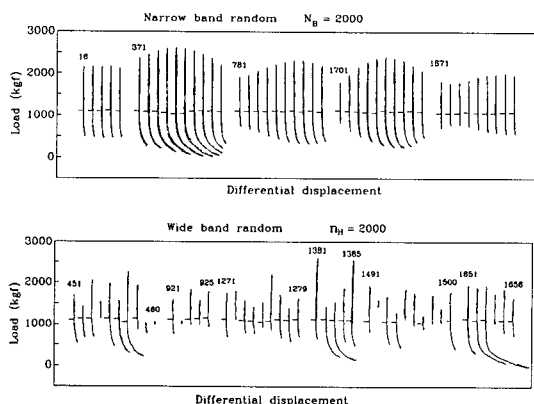


Fig. 4 Crack opening behavior in a random loading block

4. 응력비의 영향을 고려한 균열진전식

4.1 Harter T 방법

Harter T 방법⁽²⁾은 다음의 Walker⁽⁹⁾의 식

$$\frac{da}{dN} = C[\Delta K]^n$$

$$\Delta K = \Delta K_{R=0} (1-R)^{(l-m)} \text{ for } R \geq 0 \quad (3)$$

$$\Delta K = K_{\max} = \Delta K_{R=0} (1-R)^{(m-l)} \text{ for } R < 0$$

에서 m 값을 균열진전율 $\frac{da}{dN}$ 값에 따라서 변화시키는 방법이다.

m 값은 다음과 같이 계산된다.

$$m = \begin{cases} 1 + \left[\log_{10}\left(\frac{\Delta K_1}{\Delta K_2}\right) / \log_{10}\left(\frac{(1-R_2)}{(1-R_1)}\right) \right] \\ \text{for } R_1 \text{ and } R_2 \geq 0 \\ 1 + \left[\log_{10}\left(\frac{K_{\max 1}}{\Delta K_2}\right) / \log_{10}\left((1-R_1)(1-R_2)\right) \right] \\ \text{for } R_1 < 0 \text{ and } R_2 \geq 0 \end{cases} \quad (4)$$

미 공군의 균열진전예측 프로그램⁽²⁾(AFGROW)은 Al 2024-T3를 포함한 여러 재질에 대하여 식(3)에 사용되는 재료상수 값들의 데이터베이스를 제공하고 있다.

본 연구에서는 AFGROW의 데이터베이스에 있는 재료상수 값을 이용하여 랜덤하중 하에서 균열진전을 평가한 경우를 Harter T 방법이라 하고, Fig. 3(a)에 있는 응력비에 따른 일정진폭 균열진전시험 결과를 이용하여 AFGROW에 의해서 식(3)에 사용되는 재료상수를 다시 계산하여 균열진전 예측을 한 경우를, AFGROW에서 명명한 Tabular Look-Up 방법이라고 하였다.

4.2 NASGRO 방법

NASA의 균열진전수명 예측프로그램⁽³⁾(NASGRO)에서 사용되는 식은 다음과 같다.

$$\frac{da}{dN} = C \left[\left(\frac{1-f}{1-R} \right) \Delta K \right]^n \frac{\left(1 - \frac{\Delta K_{th}}{\Delta K} \right)^p}{\left(1 - \frac{K_{\max}}{K_{crit}} \right)^q} \quad (5)$$

여기서 C , n , p , q 는 재료상수이며, NASGRO의 재료물성 데이터베이스에서 제공된다.

$$f = \frac{K_{op}}{K_{\max}} = \begin{cases} \max(R, A_0 + A_1 R + A_2 R^2 + A_3 R^3) & R \geq 0 \\ A_0 + A_1 R & -2 \leq R < 0 \\ A_0 - 2A_1 & R < -2 \end{cases} \quad (6)$$

$$A_0 = (0.825 - 0.34\alpha + 0.05\alpha^2) \left[\cos\left(\frac{\pi}{2} S_{\max} / \sigma_0\right) \right]^{\frac{1}{\alpha}}$$

$$A_1 = (0.415 - 0.071\alpha) S_{\max} / \sigma_0$$

$$A_2 = 1 - A_0 - A_1 - A_3$$

$$A_3 = 2A_0 + A_1 - 1$$

이면, α 는 평면변형률인 경우 6, 평면응력인 경우 2이며, S_{\max} 는 최대응력, σ_0 는 flow stress 이다. 또한 하한계 응력강도계수 ΔK_{th} 는 다음과 같이 정의된다.

$$\Delta K_{th} = \frac{\Delta K_0 \left(\frac{a}{a+a_0} \right)^{\frac{1}{2}}}{\left(\frac{1-f}{(1-A_0)(1-R)} \right)^{(1+C_{th}R)}} \quad (7)$$

여기서

ΔK_0 - 응력비 R=0에서의 하한계 응력강도계수

a - 균열길이

a_0 - 기본 균열길이(38.1 mm)

C_{th} - 하한계 계수이다.

$\Delta K_0, C_{th}$ 는 각 재료에 대한 NASGRO 의 재료물성 데이터베이스에서 제공되는 값이다.

NASGRO 식은 다음의 임계응력강도계수 K_{crit} 을 이용하여, 두께영향을 고려하고 있다.

$$\frac{K_{crit}}{K_{lc}} = 1 + B_k e^{-\left(A_k \frac{t}{t_0} \right)} \quad (8)$$

여기서

K_{lc} - 평면변형률 파괴인성치(Mode I)

A_k - 재료상수

B_k - 재료상수

t - 두께

t_0 - 기준두께(평면응력조건)= $2.5(K_{lc}/\sigma_{ys})^2$ 이다.

K_{lc}, A_k 와 B_k 는 각 재료에 대한 NASGRO 의 재료물성 데이터베이스에서 제공된다.

5. 균열진전지연 모델

5.1 Willenborg 모델

Willenborg 모델⁽⁴⁾은 과대하중에 의한 소성역을 기초로 한 것으로, 이 소성역에 의해서 유효응력 강도계수 값이 감소한다는 개념이다. AFGROW

에서 사용되는 Willenborg 모델의 공식은 다음과 같다.

$$K_{\max(eff)} = K_{\max} - K_{red}$$

$$K_{\min(eff)} = K_{\min} - K_{red}$$

$$R_{eff} = K_{\min(eff)} / K_{\max(eff)}$$

$$K_{red} = \phi \left(K_{\max}(ol) \sqrt{1 - \frac{(x - x(ol))}{Ry(ol)}} - K_{\max} \right) \quad (9)$$

$$\phi = (1 - \Delta K_{Threshold} / K_{\max}) / (SOLR - 1)$$

$$Ry(ol) = \left(\frac{K_{\max}(ol)}{yield} \right)^2 \left(\frac{1}{PSX\pi} \right)$$

여기서

x - 균열길이

$x(ol)$ - 과대하중에서의 균열길이

$\Delta K_{Threshold}$ - 응력비 R=0에서 하한계 응력강도계수

$SOLR$ - 정지 과대하중비

yield - 항복응력

PSX - 2(평면응력), 6(평면변형률)

ol - 과대하중을 나타내는 기호이다.

AFGROW 는 압축응력의 영향을 고려하기 위해서 다음의 방법을 사용한다.

$$Ry(ol) = \left(1 - 0.9 \text{abs} \left(\frac{\sigma_{compress}}{\sigma_{overload}} \right) \right) Ry(ol) \quad (10)$$

AFGROW 에서는 몇 종류의 재료에 대하여 $SOLR$ 값을 다음과 같이 정리하였다.

알루미늄: 3.0

티타늄: 2.7

철강: 2.0

5.2 Wheeler 모델

Wheeler 모델⁽⁵⁾은 균열진전지연은 과대하중의 작용으로 생긴 균열선단의 소성역을 균열이 진전하기 때문이라고 생각하여, 지연이 일어나는 경우의 진전속도와 정상적인 일정진폭하의 균열진전속도의 관계는 다음과 같이 주어진다는 모델이다.

$$\frac{da}{dN} = C_p \left(\frac{da}{dN} \right) \quad (11)$$

여기서

$$C_p = \left(\frac{R_y}{X_{eff} - X} \right)^m$$

X - 균열길이

X_{eff} - 균열길이+소성역 크기

$$R_y = \left(\frac{K_{\max}}{yield} \right)^2 \left(\frac{1}{\pi PSX} \right)$$

PSX - 2(평면응력), 6(평면변형률)

$m = 0$ 에서 1사의 값을 갖는 Wheeler 계수이다.

본 연구에서는 Al 2024-T6 재료에 대해서 Wheeler 계수 m 값을 0.86로 하였다.⁽¹⁰⁾

6. 균열진전예측 결과

앞에서 설명한 방법들로부터 다음과 같은 10 가지 조합의 수명예측 방법들을 사용하여 광대역 및 협대역 랜덤하증 하에서 균열진전수명을 예측하였다.

- Crack Closure Method
- Harter T Method
 - No retardation
 - Willenborg Retardation
 - Wheeler Retardation
- NASGRO Method
 - No retardation
 - Willenborg Retardation
 - Wheeler Retardation
- Tabular Look-Up Method
 - No retardation
 - Willenborg Retardation
 - Wheeler Retardation

여기서, 균열닫힘방법(Crack Closure Method)은 3장에서 설명한 방법으로, 응력비의 영향과 하증간섭 효과를 동시에 고려하는 방법이다. 그리고 Harter T 방법, NASGRO 방법 및 Tabular Look-Up은 응력비의 영향을 고려한 방법으로 4장에 설명되어 있으며, 변동하증에 의한 하증간섭 영향을 설명하기 위해서 주로 균열선단의 압축잔류응력을 고려한 모델인 Willenborg 및 Wheeler의 모델은 5장에 설명되어 있다.

각 방법으로 예측한 결과를 실험결과와 비교하여 Fig. 5에 나타내었다. Fig. 5는 예측방법들의 정밀도와 정확도에 관하여 정량적 평가보다는 정성적으로 좋은 정보를 주고 있다. 각 방법의 정량적 평가를 위해서 다음의 세 항목(error criterion, mean value, coefficient of variance)이 사용되었다.

$$E_f(s = \sqrt{2}) = \frac{\text{Number of data falling within } \frac{1}{\sqrt{2}} \leq \frac{N_{pred}}{N_{test}} \leq \sqrt{2}}{\text{Number of total data}} \quad (12)$$

$$\text{Mean value} = \overline{(N_{pred} / N_{test})} \quad (13)$$

$$C.V. (\text{Coefficient of Variance}) = \frac{\text{Standard deviation}}{\text{Mean}} \quad (14)$$

여기서, N_{pred} 는 위에서 언급한 각 예측방법으로

Table 1 Comparison of prediction methods to predict crack growth under random loading

Crack Closure Method	E_f	Narrow		Narrow +Wide
		Mean	Wide	
	E_f	1.000	1.000	1.000
	Mean	0.988	0.908	0.941
	C.V.	0.160	0.091	0.130
	\bar{E}_{random}	0.943	0.939	0.937
Harter T Method	E_f	0.429	0.500	0.471
No Retardation	Mean	1.554	1.437	1.485
	C.V.	0.232	0.163	0.194
	\bar{E}_{random}	0.613	0.677	0.650
Harter T Method	E_f	0.286	0.000	0.118
Willenborg Retardation	Mean	1.850	1.897	1.878
	C.V.	0.233	0.164	0.188
	\bar{E}_{random}	0.531	0.454	0.487
Harter T Method	E_f	0.000	0.000	0.000
Wheeler Retardation	Mean	2.367	2.759	2.597
	C.V.	0.291	0.195	0.237
	\bar{E}_{random}	0.377	0.389	0.383
NASGRO Method	E_f	1.000	0.900	0.941
No Retardation	Mean	0.945	1.017	0.987
	C.V.	0.166	0.233	0.208
	\bar{E}_{random}	0.926	0.883	0.907
NASGRO Method	E_f	1.000	0.700	0.824
Willenborg Retardation	Mean	1.074	1.287	1.199
	C.V.	0.191	0.221	0.225
	\bar{E}_{random}	0.914	0.752	0.811
NASGRO Method	E_f	0.714	0.200	0.412
Wheeler Retardation	Mean	1.320	1.780	1.590
	C.V.	0.221	0.260	0.286
	\bar{E}_{random}	0.750	0.501	0.585
Tabular Look-Up Method	E_f	0.286	0.400	0.353
No Retardation	Mean	0.590	0.671	0.638
	C.V.	0.389	0.404	0.393
	\bar{E}_{random}	0.496	0.556	0.533
Tabular Look-Up Method	E_f	0.429	0.700	0.588
Willenborg Retardation	Mean	0.774	1.022	0.920
	C.V.	0.399	0.305	0.355
	\bar{E}_{random}	0.601	0.791	0.717
Tabular Look-Up Method	E_f	0.143	0.400	0.294
Wheeler Retardation	Mean	0.813	1.210	1.047
	C.V.	0.483	0.468	0.505
	\bar{E}_{random}	0.491	0.586	0.582

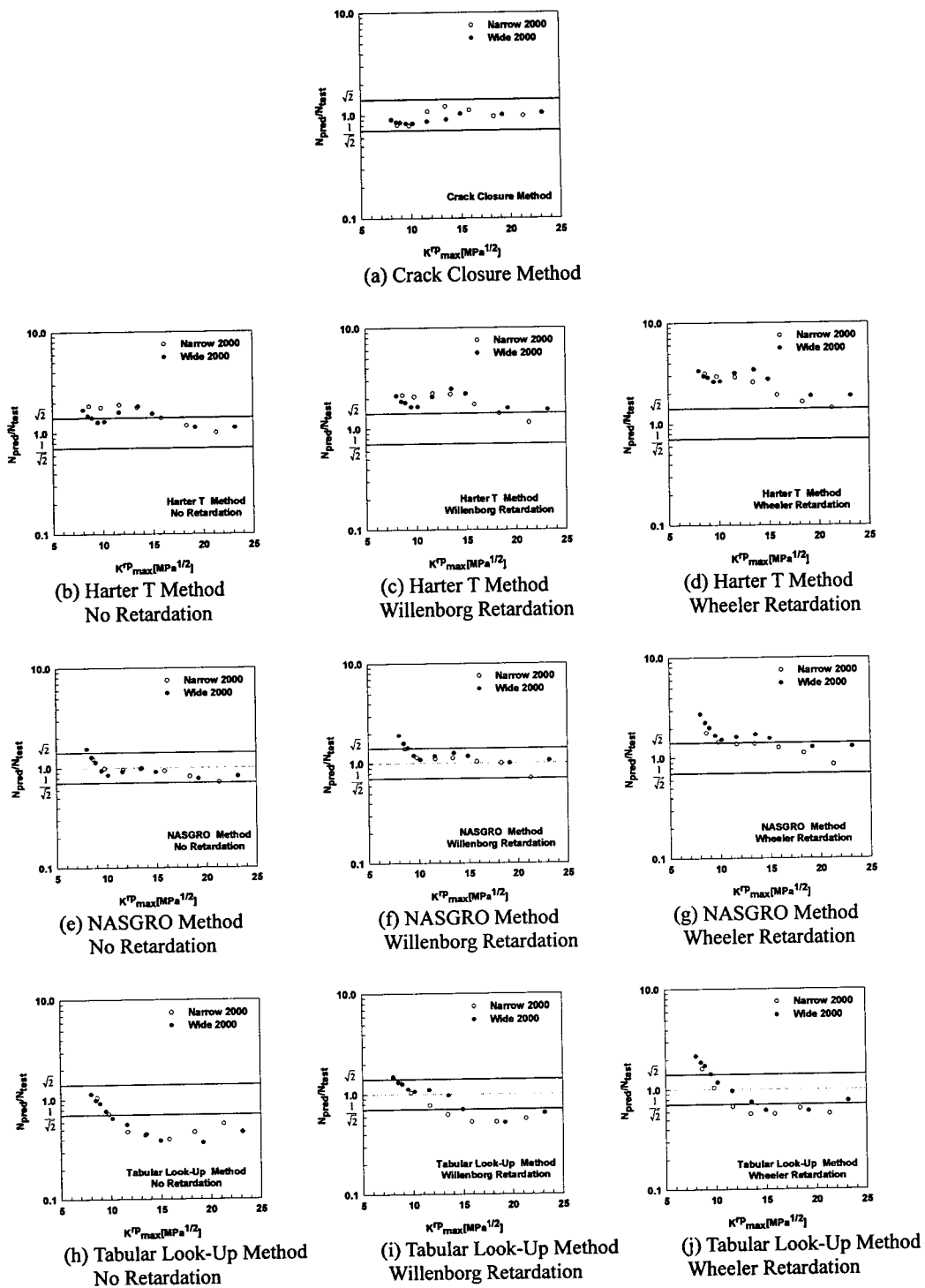


Fig. 5 Prediction results of fatigue crack growth under random loading

계산된 균열진전수명이고, N_{test} 는 실험결과이다.

E_f 는 예측방법의 정확도를 평가하기 위해서 자주 사용되는 평가기준이다. E_f 는 이상적인 값 $N_{pred}/N_{test}=1$ 에 대한 데이터의 편차를 정확히 평가할 수 없기 때문에 데이터의 평균값이 추가로 사용되었다. 또한 변동계수가 데이터의 흘어짐의 정도를 정규화 값(normalized value)으로 나타내기 위하여 사용되었다. 각 예측방법에 대한 이들 값은 Table 1 과 같다. 표에는 협대역 및 광대역 랜덤하중에 대한 각각의 결과와 두 경우를 합친 경우의 결과를 정리하였다. E_f 는 1에 근접하면 예측결과는 좋은 것이다. 다른 두 항목(평균값과 변동계수)에 대해서도 유사한 방법으로 평가하기 위해서 다음의 평가기준이 도입되었다.

$$E_{mean} = \begin{cases} mean & \text{for } mean \leq 1 \\ \frac{1}{mean} & \text{for } mean > 1 \end{cases} \quad (15)$$

$$E_{C.V.} = 1 - C.V. \quad (16)$$

편의상 3 개의 평가 값이 동등한 중요성을 가진다고 가정하고, 다음과 같이 3 개의 평가기준의 산술평균값을 예측방법의 평가기준으로 하였다.

$$\bar{E}_{random} = \frac{E_f + E_{mean} + E_{C.V.}}{3} \quad (17)$$

Table 1에서 알 수 있듯이, \bar{E}_{random} 을 평가기준으로 하면, 랜덤하중 파형의 종류, 즉 광대역 및 협대역 파형에 관계없이 균열닫힘현상을 고려한 균열진전예측 방법이 가장 좋은 결과를 주고 있으며, 균열지연을 고려하지 않은 NASGRO의 예측방법이 다음으로 좋은 결과를 주고 있다. Harter T 방법의 경우 균열진전수명을 과대평가하고 있으며, 특히 Wheeler 지연효과를 고려할 경우 과대평가 정도가 매우 크고 평가기준 \bar{E}_{random} 값도 10 개의 방법들 중에서 가장 작다.

7. 결 론

A1 2024-T351 재료에 대하여 블럭당 사이클 수가 2000 인 협대역 및 광대역 랜덤하중으로 균열진전시험을 해서 얻을 결과와 10 가지 종류의 랜덤하중의 균열진전예측 방법들에 의해서 계산된 결과들을 정량적으로 비교 평가하여 다음과 같은 결론을 얻었다.

(1) 응력비의 영향과 하중간섭효과를 동시에 고

려할 수 있는 균열닫힘현상을 이용한 균열진전예측방법이 랜덤하중 파형의 종류(협대역 및 광대역)에 관계없이 실험결과에 가장 근접한 예측결과를 주었으며, 균열지연을 고려하지 않은 NASGRO의 예측방법이 다음으로 좋은 예측결과를 주었다.

(2) Harter T 방법과 NASGRO 방법의 경우에는 균열선단의 압축잔류응력을 영향을 고려한 모델인 Willenborg 모델 및 Wheeler 모델을 사용하여 랜덤하중하의 균열지연수명을 계산하였을 때 수명을 매우 과대평가하고, 평가기준 \bar{E}_{random} 값도 지연효과를 고려하지 않은 경우보다 작았다.

(3) 사용 재료에 의존적인 균열진전지연 파라미터들을 각 예측모델에 대하여 적절이 선택하여 사용하지 않는다면, 오히려 사용하지 않는 경우 보다 잘못된 예측결과를 얻을 수 있으며, 구조물의 진존수명 또는 균열 검사주기를 과대 평가하여 위험을 초래할 수 있다.

후 기

이 논문은 과학기술부 지원으로 수행하는 21세기 프론티어 연구사업(스마트무인기기술개발)의 일환으로 수행되었습니다.

참고문헌

- (1) Paris and Erdogan, 1963, "A Critical Analysis of Crack Propagation Laws," *Trans. ASME, J Basic Engng*, Vol. 85, pp. 528~534.
- (2) Harter, J.A., 2002, AFGROW User Guide and Technical Manual.
- (3) Johnson, L.B., 2000, NASGRO Reference Manual, Ver. 3.0.
- (4) Willenborg, J., Engle, R.M. and Wood H.A., 1971, A Crack Growth Model Using an Effective Stress Concept, AFFDL-TM-71-1-FBR.
- (5) Wheeler, O.E., 1972, "Spectrum Load and Crack Growth," *Trans. ASME, J. Basic Engng*, Vol. 94, pp. 181~186.
- (6) Elber, W., 1971, "The Significance of Fatigue Crack Closure," ASTM STP 486, American Society for Testing And Materials, pp. 236~242.
- (7) Kim, C.Y. and Song, J.H., 1994, "Fatigue Crack Closure and Growth Behavior under Random Loading," *Engineering Fracture Mechanics*, Vol. 49, pp. 105~120.
- (8) Kikukawa, M., Jono, M., Kondo, Y., and Mikami, S., 1982, "Fatigue Crack Closure and Estimation Method of Crack Propagation Rate under Stationary Varying Loading Conditions Including Random Loading (First Report, Effects of Mean Load and Study on Wave Counting Method)," *Trans JSME*, Vol. 48, pp.

- 1496~1504 (in Japanese).
- (9) Walker, K., 1970, "The Effect of Stress Ratio During Crack Propagation and Fatigue for 2024-T3 and 7075-T6 Aluminum," ASTM STP 462, American Society for Testing And Materials, pp. 1~14.
- (10) Fawaz, S.A, 2001, Impact of Parameter Accuracy on Aircraft Structural Integrity Estimates, Research Report AU/ACSC/048/2001-04, Maxwell Air Force Base, Alabama.